

[美]F. E. HILDEBRAND 著

# 应用高等数学

下 册

陈绶章 张志强译

刘 文校

人民教育出版社

# 应用高等数学

下 册

[美] F. B. Hildebrand 著  
陈绶章 张志强译 刘 文校

人民教育出版社

本书曾多次作为美国麻省理工学院教科书。全书共有十一章，中译本分上、中、下三册出版。本书为下册(10—11章)，内容以复变函数为主，包括复变函数的基础内容以及解析函数理论的应用。书中有大量的例题和习题，书末附有习题答案及索引。

本书可供工科院校有关专业及有关工程技术人员作参考用书。

本书根据原书 1976 年版译出。

## 应用高等数学

下册

[美] F. B. Hildebrand 著

陈绶章 张志强译 刘文校

人民教育出版社出版

新华书店北京发行所发行

咸宁地区印刷厂印装

开本 850×1168 1/32 印张 6.75 字数 158,000

1980 年 10 月第 1 版 1981 年 8 月第 1 次印刷

印数 00,001—21,500

书号 13012·0531 定价 0.61 元

# 目 录

<b>第十章 复变函数</b> .....	1
10.1 引言 复变量 .....	1
10.2 初等复变函数 .....	3
10.3 其他初等函数 .....	7
10.4 解析复变函数 .....	15
10.5 复变函数的线积分 .....	20
10.6 柯西积分公式 .....	28
10.7 泰勒级数 .....	29
10.8 劳伦级数 .....	32
10.9 解析函数的奇点 .....	37
10.10 无穷远奇点 .....	47
10.11 奇点的意义 .....	52
10.12 残数 .....	54
10.13 实变函数定积分值的计算 .....	59
10.14 极限围道定理 .....	66
10.15 刻凿的围道 .....	69
10.16 含分枝点的积分 .....	73
<b>第十一章 解析函数理论的应用</b> .....	106
11.1 引言 .....	106
11.2 拉普拉斯变换的反演 .....	106
11.3 有分枝点的拉普拉斯变换的反演 闭路积分 .....	110
11.4 保角映射 .....	113
11.5 对二维流体流动的应用 .....	118
11.6 基本流动 .....	121
11.7 保角映射的其他应用 .....	126
11.8 许瓦尔兹-克雷斯多弗变换 .....	129
11.9 格林函数和狄利希雷问题 .....	142
11.10 应用保角映射确定格林函数 .....	149

11.11 其他的二元格林函数.....	152
<b>下册习题答案 .....</b>	<b>202</b>
<b>下册索引 .....</b>	<b>207</b>

# 第十章 复变函数

## 10.1 引言 复变量

一个复数  $\alpha$  是一个形如  $\alpha = a + ib$  的表达式, 其中  $a$  和  $b$  为实数,  $i$  为满足方程

$$i^2 = -1 \quad (1)$$

的虚数单位. 按惯例, 我们称  $a$  是  $\alpha$  的实部,  $b$  是  $\alpha$  的虚部, 并写为

$$\alpha = a + ib; \quad a = \operatorname{Re}(\alpha), \quad b = \operatorname{Im}(\alpha) \quad (2)$$

应注意, 复数的“虚部”实际上是实数. 当  $b=0$  时, 复数  $a+ib$  称为实数, 而当  $b \neq 0$  时, 称为虚数. 特别是当  $b \neq 0$  而  $a=0$  时, 此数称为纯虚数. 类似地, 可定义一复变量  $z = x + iy$ , 其中  $x$  和  $y$  均为实变量.

几何上可方便地用在所谓复平面的直角坐标系中的点  $(x, y)$  来表示一复变量  $x + iy$  (参看图 10.1). 于是, 表示实数的点均位于此平面的  $x$  轴上, 而表示纯虚数的那些点均位于  $y$  轴上. 同样, 可方便地认为复变量  $z$  由复平面中的从原点  $(x=y=0)$  到点  $(x, y)$  的向量来表示. 我们称此向量的大小为  $z$  的绝对值或模, 并用  $|z|$  来表示它, 即

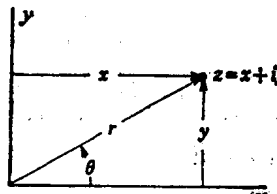


图 10.1

$$|z| = |x+iy| = \sqrt{x^2+y^2} \quad (3)$$

数  $x-iy$  称为数  $z=x+iy$  的共轭，并用符号  $\bar{z}$  来表示，即

$$\bar{z}=x-iy \quad (4)$$

当且仅当两个复数的实部和虚部分别相等时，我们称它们相等；这就是说，

$$x_1+iy_1=x_2+iy_2 \text{ 意味着 } x_1=x_2, y_1=y_2$$

特别是一个复数，当且仅当其实部和虚部均为零时，它才为零。

复数的加、减、乘和除，均按实数的运算法则进行，其中若出现  $i^2$ ，则由方程(1)有  $i^2=-1$ （尚可参看习题 1）。于是，若

$$z_1=x_1+iy_1, \quad z_2=x_2+iy_2$$

则有

$$(5a) \quad z_1+z_2=(x_1+x_2)+i(y_1+y_2) \quad (5a)$$

$$(5b) \quad z_1-z_2=(x_1-x_2)+i(y_1-y_2) \quad (5b)$$

和

$$\begin{aligned} z_1z_2 &= (x_1+iy_1)(x_2+iy_2) \\ &= (x_1x_2-y_1y_2)+i(x_1y_2+x_2y_1) \end{aligned} \quad (6)$$

特别值得注意的是

$$\begin{aligned} z\bar{z} &= (x+iy)(x-iy) = x^2 - i^2 y^2 = x^2 + y^2 \\ &= |z|^2 = |\bar{z}|^2 \end{aligned} \quad (7)$$

这就是说，一个复数与其共轭复数之积是一非负实数，它等于这一复数的绝对值的平方。利用这一事实，当  $z_1 \neq 0$  时，可推出

$$\begin{aligned} \frac{z_2}{z_1} &= \frac{x_2+iy_2}{x_1+iy_1} = \frac{(x_2+iy_2)(x_1-iy_1)}{(x_1^2+y_1^2)} \\ &= \left( \frac{x_1x_2+y_1y_2}{x_1^2+y_1^2} \right) + i \left( \frac{x_1y_2-x_2y_1}{x_1^2+y_1^2} \right) \end{aligned} \quad (8)$$

若引入极坐标  $(r, \theta)$ ，使†

† 限制条件  $r>0$ （本书将始终这样设定）在这里具有特殊意义。

$$x = r \cos \theta, \quad y = r \sin \theta \quad (r \geq 0)$$

则复数  $z$  可写成极形式

$$z = x + iy = r(\cos \theta + i \sin \theta) \quad (9)$$

其中  $r$  为  $z$  的模。应该注意，对一给定的复数，角  $\theta$  可有无穷多的方式来看。按惯例，模  $r$  为非负的，当  $z \neq 0$  时， $\theta$  的各个不同值相差一个  $2\pi$  的整数倍，在  $z=0$  时， $\theta$  值为任意的。这些角中的任一个，称为  $z$  的辐角，其简写符号为

$$\theta = \arg z = \operatorname{amp} z = \measuredangle z$$

若注意到复数的加法或减法遵循向量组合的平行四边形法则，则下列有用的不等式

$$|z_1| - |z_2| \leq |z_1 + z_2| \leq |z_1| + |z_2| \quad (10)$$

的正确性可直接由初等几何概念得证（图 10.2）。习题 4 给出它的解析证明。

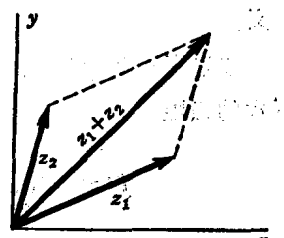


图 10.2

## 10.2 初等复变函数

现在我们来定义如  $e^z$ 、 $\sin z$ 、 $\log z$  等这样的函数，注意这些定义当  $z$  变为实数  $x$  时，将化为通常的定义。<sup>†</sup>

这种函数中最简单的一种是整数幂函数

$$f(z) = z^n \quad (11)$$

其中  $n$  为正整数或为零。自然，此函数是按公式  $z^{k+1} = z^k z$  ( $k=0, 1, 2, \dots$ ) 及  $z^0 = 1$ ，用重复乘法来递推地定义的，由此有

<sup>†</sup> 应该注意，在  $z$  为复数时，要象对实变函数那样，在几何上“设想出”这些函数的图形是不可能的，因为如设  $w = \sin z$ ，要联系  $w$  的实部、虚部（如  $u$  和  $v$ ）和  $z$  的实部和虚部（如  $x$  和  $y$ ），就需要四维图象。利用两个平面提供所需的四维，以在几何上表示这些关系的方法，将在第十一章中讨论（§ 11.4）。

$$z^n = (x+iy)^n = r^n(\cos\theta + i\sin\theta)^n \quad (n=0, 1, 2, \dots) \quad (12)$$

$z$  的多项式则用有限个这样的函数的线性组合来定义,

$$f(z) = \sum_{n=0}^N A_n z^n \quad (13)$$

其中组合的常数可能是虚数。 $z$  的有理函数由两个多项式的比来定义。

通过考虑如表达式(13)在  $N \rightarrow \infty$  时的极限, 或更一般地考虑下式的极限

$$f(z) = \lim_{N \rightarrow \infty} \sum_{n=0}^N A_n (z-a)^n \equiv \sum_{n=0}^{\infty} A_n (z-a)^n \quad (14)$$

其中  $a$  可以是实数或虚数, 我们用幂级数来引出复变函数的定义。这种级数的收敛性, 如同实数项级数那样, 可用比值判别法来识别(参看 § 4.1)。于是, 若在下面的极限存在时, 令

$$L = \lim_{n \rightarrow \infty} \left| \frac{A_{n+1}}{A_n} \right| \quad (15)$$

则此级数在

$$|z-a| < \frac{1}{L} \quad (16)$$

时收敛。可以看出, 在几何上, 这一限制条件要求  $z$  位于复平面上的以半径为  $R=1/L$ 、圆心在点  $z=a$  处的圆内。

在此收敛圆内, 此级数可逐项积分或求导, 而所得的级数将分别为原级数所表示的函数的积分或导数<sup>†</sup>。这一事实对今后将是相当重要的。

### 指数函数 $e^z$ 由幂级数

<sup>†</sup> 这是如下事实的推论, 若级数(14)在  $|z-a| < R$  时收敛, 则对  $0 < \rho < R$  的任一个  $\rho$ , 当  $|z-a| \leq \rho$  时, 该级数均匀收敛, 且同样结论对逐项积分或求导后所得级数也成立。

$$e^z = \sum_{n=0}^{\infty} \frac{z^n}{n!} = 1 + z + \frac{z^2}{2!} + \frac{z^3}{3!} + \dots \quad (17)$$

来定义。这一定义是容许的，因为此级数收敛，因此对  $z$  的所有实数值或虚数值来说，此级数定义一个  $z$  的可微函数，同时还因为此级数当  $z$  为实数时化为通常的级数。若将定义  $e^{z_1}$  和  $e^{z_2}$  的级数逐项相乘（对收敛的幂级数来说，这是允许的），则发现所得的级数就是定义  $e^{z_1+z_2}$  的级数（参看习题 11）；这就是说，关系式

$$e^{z_1} e^{z_2} = e^{z_1+z_2} \quad (18)$$

对  $z_1$  和  $z_2$  为复值时是正确的。因此，若  $n$  为正整数，则对  $z$  的所有复值，尚有关系式

$$(e^z)^n = e^{nz} \quad (n=1, 2, 3, \dots) \quad (19)$$

三角函数由已定义的指数函数按下列关系式

$$\sin z = \frac{e^{iz} - e^{-iz}}{2i} \quad (20a)$$

$$\cos z = \frac{e^{iz} + e^{-iz}}{2} \quad (20b)$$

以及  $\tan z = \sin z / \cos z$  等等来定义。因此，由方程(20)和(17)，我们有相应的级数的定义

$$\sin z = z - \frac{z^3}{3!} + \frac{z^5}{5!} - + \dots = \sum_{n=0}^{\infty} (-1)^n \frac{z^{2n+1}}{(2n+1)!} \quad (21a)$$

和

$$\cos z = 1 - \frac{z^2}{2!} + \frac{z^4}{4!} - + \dots = \sum_{n=0}^{\infty} (-1)^n \frac{z^{2n}}{2n!} \quad (21b)$$

当  $z$  为实数时，它们化为通常的形式。从这些级数，或从定义(20a, b)，可以证明，对  $z$  为虚值时与实值时一样，满足相同的恒等式。

方程(20a, b)蕴涵重要的关系式

$$e^{iz} = \cos z + i \sin z \quad (22)$$

上式称为欧拉公式.

用此关系式, 方程(9)可写为

$$z = x + iy = r(\cos\theta + i \sin\theta) = re^{i\theta} \quad (23)$$

根据(23)和(19), 我们有

$$z^n = r^n(\cos\theta + i \sin\theta)^n = r^n e^{in\theta} \quad (n=1, 2, 3, \dots) \quad (24)$$

但由于方程(22)也蕴涵关系式

$$e^{in\theta} = \cos n\theta + i \sin n\theta$$

因此我们导出棣美弗(DeMoivre)定理

$$(\cos\theta + i \sin\theta)^n = \cos n\theta + i \sin n\theta \quad (25)$$

并可将(24)改写为

$$z^n = r^n(\cos n\theta + i \sin n\theta) \quad (n=1, 2, 3, \dots) \quad (26)$$

在几何上, 方程(26)表明, 若  $z$  具有绝对值  $r$  和辐角  $\theta$ , 则当  $n$  为正整数时,  $z^n$  具有绝对值  $r^n$  和辐角  $n\theta$ .

类似地, 若  $z_1 = r_1 e^{i\theta_1}$  和  $z_2 = r_2 e^{i\theta_2}$ , 则有

$$z_1 z_2 = r_1 r_2 e^{i(\theta_1 + \theta_2)} \quad (27a)$$

和

$$\frac{z_2}{z_1} = \frac{r_2}{r_1} e^{i(\theta_2 - \theta_1)}, \quad (z_1 \neq 0) \quad (27b)$$

这就是说, 若  $z_1$  和  $z_2$  分别具有绝对值为  $r_1$  和  $r_2$ , 辐角为  $\theta_1$  和  $\theta_2$ , 则  $z_1 z_2$  具有绝对值  $r_1 r_2$  和辐角  $\theta_1 + \theta_2$ , 而  $z_2/z_1$  具有绝对值  $r_2/r_1$  和辐角  $\theta_2 - \theta_1$ .

特别是注意到, 由于

$$|e^{ia}| = 1 \quad (\alpha \text{ 为实值}) \quad (28)$$

任一复数  $z$  与形如  $e^{ia}$  (其中  $a$  为实值) 的数相乘, 相当于表示复数  $z$  的向量在复平面上转过一个角度  $a$ .

双曲函数如同实变函数一样, 由方程

$$\sinh z = \frac{e^z - e^{-z}}{2} \quad (29a)$$

$$\cosh z = \frac{e^z + e^{-z}}{2} \quad (29b)$$

和  $\tanh z = \sinh z / \cosh z$  等等来定义。因此，还有

$$\sinh z = z + \frac{z^3}{3!} + \frac{z^5}{5!} + \cdots = \sum_{n=0}^{\infty} \frac{z^{2n+1}}{(2n+1)!} \quad (30a)$$

和

$$\cosh z = 1 + \frac{z^2}{2!} + \frac{z^4}{4!} + \cdots = \sum_{n=0}^{\infty} \frac{z^{2n}}{(2n)!} \quad (30b)$$

按定义可以证明，复变量的双曲函数，满足与实变量的双曲函数相同的恒等式。特别是比较方程(20)和(29)，得关系式

$$\begin{aligned} \sinh iz &= i \sin z, & \cosh iz &= \cos z \\ \sin iz &= i \sinh z, & \cos iz &= \cosh z \end{aligned} \quad (31)$$

它们将三角函数与双曲函数联系起来。

至此，根据以上所得出的结果，可用函数的实部和虚部得出下列各函数的表达式：

$$\begin{aligned} e^z &= e^{x+iy} = e^x e^{iy} = (e^x \cos y) + i(e^x \sin y) \\ \sin z &= \sin(x+iy) = \sin x \cos iy + \cos x \sin iy \\ &= (\sin x \cosh y) + i(\cos x \sinh y) \\ \cos z &= \cos(x+iy) = \cos x \cos iy - \sin x \sin iy \\ &= (\cos x \cosh y) - i(\sin x \sinh y) \quad (32) \\ \sinh z &= \sinh(x+iy) = \sinh x \cosh iy + \cosh x \sinh iy \\ &= (\sinh x \cos y) + i(\cosh x \sin y) \\ \cosh z &= \cosh(x+iy) = \cosh x \cosh iy + \sinh x \sinh iy \\ &= (\cosh x \cos y) + i(\sinh x \sin y) \end{aligned}$$

### 10.3 其他初等函数

下面我们定义作为指数函数的反函数的复对数函数。暂以符

号  $\text{Log} z$  表示此函数, 我们知道方程

$$w = \text{Log} z \quad (33)$$

必须等价于

$$z = e^w \quad (34)$$

若以其实部与虚部来表示  $\text{Log} z$ , 可写为

$$w = u + iv \quad (35)$$

于是, 方程(34)给出

$$z = x + iy = e^{u+iv} = e^u e^{iv} = e^u \cos v + ie^u \sin v$$

因此, 令实部与虚部分别相等, 得

$$e^u \cos v = x, \quad e^u \sin v = y \quad (36)$$

由此则有

$$e^{2u} = x^2 + y^2 = |z|^2 = r^2, \quad \cos v = \frac{x}{r} = \cos \theta,$$

$$\sin v = \frac{y}{r} = \sin \theta$$

且当  $r \neq 0$  时, 有

$$u = \log r = \log |z|, \quad v = \theta \quad (37)$$

其中  $r$  照例表示  $z$  的绝对值,  $\log r$  为通常的实对数, 而  $\theta$  为与  $z$  有关的无穷多个辐角(它们之间相差  $2\pi$  的整数倍)中任何特定的一个. 由此, 对  $z \neq 0$  可得出结果

$$\text{Log} z = \log |z| + i\theta \quad (38)$$

为了强调  $\theta$  值仅在  $2\pi$  的一整数倍的范围内被确定这一事实, 这里可用  $\theta_p$  表示位于区间  $0 \leq \theta < 2\pi$  内的特定的  $\theta$  值, 并称此值为对于对数的  $\theta$  的主值,

$$0 \leq \theta_p < 2\pi \quad (39)$$

于是,  $\theta$  的其他容许值为  $\theta = \theta_p + 2k\pi$ , 其中  $k$  为整数, 而方程(38)化为

$$\text{Log} z = \log |z| + i(\theta_p + 2k\pi) \quad (k=0, \pm 1, \pm 2, \dots) \quad (40)$$

由此可知, 定义为  $e^z$  的反函数的  $\text{Log} z$  是一无穷多个值的函数. 例如, 设  $z=i$ , 则有  $|z|=1$  和  $\theta_p=\pi/2$ , 因而

$$\text{Log} i = \log 1 + i \left( \frac{\pi}{2} + 2k\pi \right) = \frac{4k+1}{2}\pi i \quad (k=0, \pm 1, \pm 2, \dots) \quad (41)$$

对应于  $k=0$  的值称为对数的主值.

在具体的讨论中, 若  $z$  仅限于正的实值, 如  $z=x$ , 则有  $|z|=x$  和  $\theta_p=0$ , 于是, 由(40)有

$$\text{Log} x = \log x + 2k\pi i \quad (x \text{ 为正的实值}) \quad (42)$$

因此, 正的实数的复对数可与通常的实对数相差  $2\pi i$  的任一整数倍. 为了与通常的习惯相一致, 今后在  $z$  为正的实数时, 令(42)中的  $k=0$ , 使复对数  $\text{Log} z$  与实对数  $\log z$  相一致. 在更为一般的情况下, 按惯例仍可写  $\log z$  以替代  $\text{Log} z$ , 这时除  $z$  仅取正实数值的情况外,  $\log z$  看作是多值的. 于是, 可写出

$$\log z = \log |z| + i(\theta_p + 2k\pi) \quad (k=0, \pm 1, \pm 2, \dots) \quad (43)$$

以替代(40), 并免除在(42)情况下当  $z$  为正的实变量时令式中  $k=0$  所引起的矛盾.

现设在正实轴上一给定点  $z_1$  处, 对(43)中的  $k$  选一特定的值, 如选  $k=0$ , 由此确定  $\log z_1$  的特定值. 若点  $z$  由  $z_1$  出发, 沿一路径连续地运动, 则  $\log z$  的值由初始值  $\log z_1$  开始并连续地变化. 特别是, 若  $z$  沿一围绕原点的简单闭合路径按正方向(反时针方向)移动并返回初始点. 可以看出, 角  $\theta$  一直增大到  $2\pi$ , 因此, 当转了一整圈时, 其对数增加  $2\pi i$ , 而对数的实部回到其初始值. 然而, 上述讨论仅对包含原点  $z=0$  在内的路径才是正确的. 现若点  $z$  继续按其原路径移动, 则对数由不同的(单值的)函数或同一(多值的)函数的不同的“分枝”给出. 这就是说, 若写出

$$(\log z)_k = \log |z| + i(\theta_p + 2k\pi) \quad (0 \leq \theta_p < 2\pi)$$

且  $\log z$  在原路径上由  $(\log z)_0$  的一分枝来确定 ( $k=0$ ), 则在  $\log z$  连续改变时, 在第二条路径上,  $\log z$  应由  $(\log z)_1$  的分枝来确定 (对应于  $k=1$ ). 点  $z=0$  称为“分枝点”. 当需从一分枝移至另一分枝时, 它必被路径所包围. 因此我们可以说, 函数  $\log z$  具有无限多个分枝, 它在  $z=0$  处有一单分枝点.

对任一多值函数, 当我们阻止由一分枝移至另一分枝, 以使讨论仅限于作为单值函数的一个分枝时, 我们可以设想, 复平面沿着发生一分枝迁移到另一分枝的直线(或曲线)被“切开”. 于是, 所讨论的分枝, 一般说来, 沿上述定义的“分枝割线”将是不连续的.

因此, 对函数  $\log z$ , 当  $\theta_p$  武断地规定为  $0 \leq \theta_p < 2\pi$  时, 则  $\log z$  的各分枝沿正实轴是不连续的. 显然, 在处理不希望得到上述情况的问题中, 可另行规定  $-\pi < \theta_p \leq \pi$ , 使沿分枝割线的不连续性在沿负实轴处出现, 或可使迁移沿任一其他的射线、曲线或由原点伸向无穷远处(不与自身相交)的复合曲线出现.

为确定起见, 除以后作明显的不同规定外, 我们将采取规定  
(39).

广义幂函数  $f(z) = z^a$  用对数按如下方程

$$z^a = e^{a \log z} \quad (44)$$

定义, 其中  $a$  可以是实数或是虚数. 当  $z$  为正的实变量而  $a$  为实数时, 若正的实数的对数仍为实数, 显然, 上述定义与通常的定义相一致. 若  $a$  为正整数, 上述定义应与(24)相一致. 为说明这点, 令  $a=n$ , 其中  $n$  为任意整数, 由(44)可得

$$z^n = e^{n[\log r + i(\theta_p + 2k\pi)]} = e^{n \log r} e^{in\theta_p} e^{2kn\pi i} \quad (k=0, \pm 1, \pm 2, \dots)$$

但由于  $k$  和  $n$  均为整数, 故有

$$e^{2kn\pi i} = \cos 2kn\pi + i \sin 2kn\pi = 1$$

因而在此情况下, 有

$$z^n = r^n e^{in\theta_p}, \quad (n \text{ 为整数}) \quad (45)$$

由于当  $n$  为整数时,  $e^{in\theta} = e^{i(n(\theta_p + 2k\pi))} = e^{in\theta_p}$ , 故此结果与(24)相一致, 若  $n$  为负整数, 如  $n = -p$ , 则在  $z \neq 0$  时, 此结果与递推定义

$$z^0 = 1, z^{-(p+1)} = z^{-p}/z \quad (p=0, 1, 2, \dots)$$

的结果相同.

更一般地说, 若  $a$  为有理实数, 则可写为

$$a = \frac{m}{n}$$

其中  $m$  和  $n$  为无公因子的整数. 于是方程有如下形式

$$z^{m/n} = e^{(m/n)\log r} e^{i(m/n)\theta_p} e^{2k(m/n)\pi i} \quad (k=0, \pm 1, \pm 2, \dots)$$

或

$$z^{m/n} = [r^{m/n} e^{i(m/n)\theta_p}] e^{2k(m/n)\pi i} \quad (k=0, \pm 1, \pm 2, \dots)$$

考虑到  $m$  和  $n$  均为给定的整数, 而  $k$  为任意整数, 不难看出, 当  $k$  取任意  $n$  个接连的整数值时, 如  $k=0, 1, 2, \dots, n-1$ , 因子  $e^{2k(m/n)\pi i}$  将取  $n$  个相应不同的值, 而当  $k$  继续以整数增加时, 则所得的  $n$  个值仅是周期性地重复. 由此可知, 对  $z$  的任意非零值, 函数  $z^{m/n}$  恰好具有如下  $n$  个不同的值<sup>†</sup>

$$z^{m/n} = r^{m/n} e^{i(m/n)(\theta_p + 2k\pi)} \quad (k=0, 1, 2, \dots, n-1) \quad (46)$$

还可以看到, 可将函数  $z^{m/n}$  看成是具有恰好  $n$  个分枝, 这使得我们若再规定  $\theta_p$  为  $0 \leq \theta_p < 2\pi$ , 且一个点沿包含原点在内的简单闭合路径移动一周时 ( $\theta$  变化  $2\pi$ ), 则只有通过由一个分枝移至另一个分枝, 才能使  $z^{m/n}$  连续变化. 可以进一步证明, 若通过一闭合路径恰好为  $n$  次, 它最初由某一分枝开始, 则第  $n$  个分枝将移回最初的那一分枝. 点  $z=0$  仍是一个分枝点.

\* 此式原书误为  $e^{m/n \log r} e^{i(m/n)\theta_p} e^{2k(m/n)\pi i}$  ——译者注.

† 符号  $\sqrt[n]{w}$  有时用来表示多值函数  $w^{\frac{1}{n}}$ , 其中  $w$  为复数. 但在本书中, 完全不采用前一符号, 除非  $w$  为正的实数. 这时, 根号只表示正的  $n$  次实根. 由此, 例如有  $3^{\frac{1}{3}} = \pm \sqrt[3]{3}$ .

举一个例，设  $m/n=2/3$ ，点  $z$  在单位圆上按正方向（反时针方向）从点  $z=1$  开始移动。若任意选定从  $k=0$  的分枝开始，注意到对  $z=1$ ，有  $r=1$ ,  $\theta_p=0$ ，则  $z^{2/3}$  在点  $z=1$  处的初始值为 1。当趋于回路的终端时， $\theta_p$  趋于  $2\pi$ ，当  $z \rightarrow 1$  时，幂  $z^{2/3}$  的值趋于  $e^{i(2/3)(2\pi+0)} = e^{(4/3)\pi i}$ 。为了使  $z^{2/3}$  在通过点  $z=1$  时的变化为连续的，因而  $\theta_p$  突然降为零，然后再增大，这时我们应从  $k=1$  的第二个分枝来确定  $z^{2/3}$ ，因为这一分枝在  $\theta_p=0$  处取第一分枝当  $\theta_p \rightarrow 2\pi$  时所趋的值。在趋向第二个回路的终端处，仍有  $z \rightarrow 1$ ，幂  $z^{2/3}$  的值趋于  $e^{i(2/3)(2\pi+2\pi)} = e^{(8/3)\pi i}$ ；当通过  $z=1$  这一点时，应移至  $k=2$  的第三个分枝。最后，在趋于第三个回路的终端处，再一次有  $z \rightarrow 1$ ，幂  $z^{2/3}$  的值趋于  $e^{i(2/3)(2\pi+4\pi)} = e^{4\pi i} = 1$ ，于是（为了连续性），应移回  $k=0$  的第一个分枝。 $z^{2/3}$  在点  $z=1$  处的三个值为 1、 $(-1-i\sqrt{3})/2$  和  $(-1+i\sqrt{3})/2$ 。

在一般情况下，当  $a$  为如下形式的一复数时，即

$$a = a_1 + ia_2$$

其中  $a_1$  和  $a_2$  均为实数，方程 (44) 化为

$$\begin{aligned} z^a &= e^{(a_1+ia_2)[\log r+i(\theta_p+2k\pi)]} \\ &= e^{[a_1 \log r - a_2(\theta_p+2k\pi)]} e^{i[a_2 \log r + a_1(\theta_p+2k\pi)]} \\ &= r^{a_1} e^{-a_2(\theta_p+2k\pi)} \{ \cos [a_2 \log r + a_1(\theta_p+2k\pi)] \\ &\quad + i \sin [a_2 \log r + a_1(\theta_p+2k\pi)] \} \quad (k=0, \pm 1, \pm 2, \dots) \end{aligned} \tag{47}$$

一般说来，函数  $z^a$  显然是一个  $z=0$  为分枝点的具有无限多个值的函数。若  $a_2=0$ ，且  $a_1$  为有理数，则只存在有限个分枝；特别是，若  $a_2=0$ ，且  $a_1$  为整数，则此函数为单值的，且  $z=0$  不再是一个分枝点。

广义指数函数  $f(z)=a^z$ ，其中  $a$  可为实数，亦可为虚数，但  $a \neq 0, 1$ ，它类似地，可由方程

$$a^z = e^{z \log a} \tag{48}$$

来定义。若以  $\alpha_p$  表示  $a$  所对应的角的主值，使得  $0 \leq \alpha_p < 2\pi$ ，则有